



В.В. Черниш

**ТЕРМОЕРС В  $L_1$ - $\Delta_1$  МОДЕЛІ ГЕРМАНІЮ  
ЗА СИЛЬНОГО ГІДРОСТАТИЧНОГО  
ТИСКУ**

В.В. Черниш, Б.Ш. Куамба

(Університет Едуардо Мондлане, Мануту,  
Мозамбік)



Б.Ш. Куамба

- За наявності сильних пружних гідростатичних деформацій відбувається перехід електронів з чотирьох  $L_1$ -долин в шість еквівалентних  $\Delta_1$ -долин, і енергетична структура германію  $n$ -типу стає подібною до енергетичної структури кремнію  $n$ -типу. Обчислено деформаційні потенціали й числа заповнення долин і проаналізовано їх поведінку залежно від тиску за низьких  $T=78\text{ K}$  і кімнатних  $T=300\text{ K}$  температур. Теорію анізотропного розсіювання було використано для обчислення термоЕРС. Розглянуто внутрішньодолинне змішане розсіювання електронів на акустичних фонах і іонах домішок, міждолинне нееквівалентне розсіювання електронів між  $L_1$ - і  $\Delta_1$ -долинами і міждолинне еквівалентне  $f$ - і  $g$ - розсіювання між  $\Delta_1$ -долинами.

### Вступ

Енергетична структура зони провідності германію добре відома [1-3]; за атмосферного тиску зайняті електронами чотири найнижчих  $L_1$ -долини зони провідності. Однак зі збільшенням гідростатичного тиску енергія чотирьох  $L_1$ -долин зростає відносно дна зони провідності недеформованого кристалу.  $\Delta_1$ -долини мають від'ємний коефіцієнт тиску і опускаються в шкалі енергії [1-3]. Здебільшого розглядалися лише чотири  $L_1$ -долини у випадку недеформованих монокристалів германію або за наявності відносно невеликих деформацій ( $L_1$ -модель германію) [4-6]. За наявності сильних пружних деформацій  $\Delta_1$ -долини мають включатися до розгляду ( $L_1 - \Delta_1$  модель германію) [1-3, 7-9, 13, 14]. За певного тиску  $P_0$  положення двох груп долин стає однаковим за енергетичною шкалою. У разі подальшого збільшення тиску маємо інверсію  $L_1$ - і  $\Delta_1$ -долин, тобто  $\Delta_1$ -долини будуть локалізовані нижче в енергетичній шкалі відносно  $L_1$ -долин. За достатньо сильних тисків практично всі вільні електрони будуть локалізовані в  $\Delta_1$ -долинах ( $\Delta_1$ -модель германію) і відповідно структура зони провідності германію стає подібною до структури зони провідності кремнію за атмосферного тиску. За цих умов  $\Delta_1$  долини стають доступними для прямих електричних вимірювань [2, 3] і, таким чином, теоретичний розгляд явищ переносу не чисто штучний. У цій роботі ми намагатимемось проаналізувати термоелектрорушійну силу за наявності сильного гідростатичного тиску.

### Числа заповнень і хімічний потенціал

У припущенні невинродженості електронного газу рівноважний розподіл електронів у  $L_1$ - і  $\Delta_1$ -долинах може бути поданий [5, 6] як

$$\bar{f}_{\vec{k}}^{(i)} = \exp(\bar{\mu}^* - E_{L_1}^{(i)*} - \epsilon_{\vec{k}}^{(i)*}), \quad \bar{f}_{\vec{k}}^{(j)} = \exp(\bar{\mu}^* - \Delta E_0^* - E_{\Delta_1}^{(j)*} - \epsilon_{\vec{k}}^{(j)*}), \quad (1)$$

тут  $\bar{\mu}^* = \bar{\mu}/kT$  – зведений хімічний потенціал в деформованому кристалі,  $E_{L_1, \Delta_1}^{(i, j)}$  – зведений потенціал деформації  $L_1$ - і  $\Delta_1$ -долин,  $\Delta E_0^* = \Delta E_0/kT$  – зведена відстань по енергетичній шкалі

між  $L_1$  - і  $\Delta_1$  - мінімумами в недеформованому монокристалі.

Повне число електронів у кожній  $L_1$  - і  $\Delta_1$  -долині відповідно

$$N_{L_1}^{(i)} = \frac{2}{(2\pi)^3} \int \bar{f}_{\vec{k}}^{(i)} d\vec{k} = 2 \frac{(2\pi kT)^{\frac{3}{2}} \left[ (m_{\perp}^{L_1})^2 m_{\parallel}^{L_1} \right]^{\frac{1}{2}}}{(2\pi\hbar)^3} \cdot \exp(\bar{\mu}^* - E_{L_1}^{(i)*}),$$

$$N_{\Delta_1}^{(j)} = 2 \frac{(2\pi kT)^{\frac{3}{2}} \left[ (m_{\perp}^{\Delta_1})^2 m_{\parallel}^{\Delta_1} \right]^{\frac{1}{2}}}{(2\pi\hbar)^3} \cdot \exp(\bar{\mu}^* - E_{\Delta_1}^{(j)*} - \Delta E_0^*). \quad (2)$$

Легко знайти із (2) число електронів у кожній долині недеформованого кристалу  $N_{L_1, \Delta_1}^0$  заміною  $E_{L_1, \Delta_1}^{(i,j)} = 0$ ,  $\bar{\mu}^* \rightarrow \mu^*$ , де  $\mu^*$  – хімічний потенціал недеформованого кристалу.

Зазначимо, що для знаходження деформаційних потенціалів, які входять у (1)-(2), необхідно використовувати теорію деформаційного потенціалу для кубічних кристалів [5,6,10]. Деформаційний потенціал для  $i$ -долини, як впливає із цієї теорії, у системі координат, зв'язаній з головними вісями тензора мас,

$$E_i = C_1 (\varepsilon_{11}^{(i)} + \varepsilon_{22}^{(i)} + \varepsilon_{33}^{(i)}) + C_2 \varepsilon_{33}^{(i)},$$

де  $C_1^{(i)}$  і  $C_2^{(i)}$  – константи деформаційного потенціалу,  $\varepsilon_{ij}^{(i)}$  – компоненти тензора деформації  $i$ -долини. Зазвичай всі деформаційні потенціали і відповідно всі компоненти тензора деформації мають бути виражені в одній і тій же лабораторній системі координат, зв'язаній з кристалографічними вісями [100], [010], [001]. Для їх знаходження використовується закон Гука у формі

$$\varepsilon_{ik} = \sum_{l,m} S'_{iklm} U_{lm},$$

де  $U_{lm}$  – тензор пружних напруг; у випадку гідростатичного тиску тензор напруг має три діагональні компоненти,  $U_{lm} = P\delta_{lm}$ ,  $P < 0$  відповідає стиску,  $S'_{iklm}$  – тензор пружних піддатливостей, зазвичай компоненти цього тензора відомі у кристалографічній системі координат [11]. У нашому випадку кристалографічна система координат збігається з лабораторною.

Після перетворення компонент тензора деформації кожної долини до лабораторної системи координат потенціали деформації набувають вигляду

$$E_{L_1}^{(1-4)} = 3 \left( C_1^{L_1} + \frac{1}{3} C_2^{L_1} \right) (S_{11} + 2S_{12}) P,$$

$$E_{\Delta_1}^{(1-6)} = 3 \left( C_1^{\Delta_1} + \frac{1}{3} C_2^{\Delta_1} \right) (S_{11} + 2S_{12}) P. \quad (3)$$

Тут  $S_{ik}$  – матричні позначення Фойгта компонент тензора пружних піддатливостей:  $S_{11} = S_{1111}$ ;  $S_{12} = S_{1122}$ . Всі деформаційні потенціали для  $L_1$ -долин рівні і додатні, тому що  $C_1^{L_1} + \frac{1}{3} C_2^{L_1} < 0$  [5],  $S_{11} + 2S_{12} > 0$  і  $P < 0$  для стиску. Це означає, що чотири  $L_1$ -долини піднімаються по шкалі енергії зі зростанням тиску. В той же час всі деформаційні потенціали  $\Delta_1$ -долин також рівні між собою і мають бути від'ємними й опускатися по шкалі енергії з ростом тиску згідно з [1-3], якщо  $C_1^{\Delta_1} + \frac{1}{3} C_2^{\Delta_1} > 0$ .

Використовуючи рівняння електронейтральності для недеформованого ( $4N_{L_1}^0 + 6N_{\Delta_1}^0 = N_0$ ) і для деформованого ( $4N_{L_1} + 6N_{\Delta_1} = N_0$ ) кристала, легко визначити співвідношення між хімпотенціалом у деформованому ( $\bar{\mu}^*$ ) і в недеформованому ( $\mu^*$ ) кристалі

$$e^{\bar{\mu}^*} = \left[ 4 + 6(m_N^{\Delta_1} / m_N^{L_1})^{3/2} e^{-\Delta E_0^*} \right] \left[ 4 + 6(m_N^{\Delta_1} / m_N^{L_1})^{3/2} e^{E_{L_1}^* - E_{\Delta_1}^* - \Delta E_0^*} \right]^{-1} e^{\mu^*} \quad (4)$$

і одержати вираз для відносного числа електронів у долинах  $n_r^{(i)} = N_r^{(i)} / N_0$ ,

$$n_{L_1} = \left\{ 4 + 6 \left( \frac{m_N^{\Delta_1}}{m_N^{L_1}} \right)^{3/2} \cdot \exp(E_{L_1}^* - E_{\Delta_1}^* - \Delta E_0^*) \right\}^{-1},$$

$$n_{\Delta_1} = \left\{ 4 \left( \frac{m_N^{L_1}}{m_N^{\Delta_1}} \right)^{3/2} \cdot e^{\Delta E_0^* + E_{\Delta_1}^* - E_{L_1}^*} + 6 \right\}^{-1}. \quad (5)$$

Тут  $m_N^{L_1, \Delta_1} = \left[ (m_{\perp}^{L_1, \Delta_1})^2 m_{\parallel}^{L_1, \Delta_1} \right]^{1/3}$  – ефективна маса густини станів в  $L_1$ - і  $\Delta_1$ -долинах. У недеформованому кристалі  $P=0$ ,  $n_{L_1} = 0.25$ ,  $n_{\Delta_1} \approx 0$ . У випадку сильного тиску  $P > P_0$  практично всі електрони локалізовані в  $\Delta_1$ -долинах,  $n_{L_1} \approx 0$ ,  $n_{\Delta_1} = 1/6$ . За тиску, що відповідає інверсії долин  $P = P_0$ , всі десять долин ( $L_1$ - і  $\Delta_1$ -долин) є енергетично еквівалентні, тобто  $E_{L_1} = \Delta E_0 + E_{\Delta_1}$  і з (5) випливає  $n_{L_1} / n_{\Delta_1} = (m_N^{L_1} / m_N^{\Delta_1})^{3/2}$ . Це означає, що в цьому випадку в кожній долині буде однакова кількість електронів лише за рівності їх ефективних мас густини станів у долині кожного типу.

Із (4) і (5) не важко знайти явний вираз для хімічного потенціалу в деформованому і в недеформованому кристалах і записати їх у двох різних, але еквівалентних формах:

$$\bar{\mu}^* = \mu^* + E_{L_1}^* + \ln(n_{L_1} / n_0),$$

$$\bar{\mu}^* = \mu^* + E_{\Delta_1}^* + \Delta E_0^* + \ln(n_{\Delta_1} / n_0) + (3/2) \ln(m_N^{L_1} / m_N^{\Delta_1}) \quad (6)$$

$$\text{Відмітимо, що } n_0 = \left[ 4 + 6(m_N^{L_1} / m_N^{\Delta_1})^{3/2} e^{-\Delta E_0^*} \right]^{-1}.$$

Хімічний потенціал недеформованого кристалу можна знайти відомими методами.

## Дифузійна термоЕРС

Перш за все коротко зупинимось на механізмах розсіювання електронів у нашій моделі. Обмежимося в нашому розгляді процесами розсіювання за участю фононів і іонів домішок у  $L_1$ - і  $\Delta_1$ -долинах. У  $L_1$ - і  $\Delta_1$ -долинах електрони беруть участь у таких процесах розсіювання: внутрішньодолинне розсіювання на акустичних фононах і іонах домішок, а також нееквівалентне міждолинне розсіювання між  $L_1$ - і  $\Delta_1$ -долинами. До того ж в  $\Delta_1$ -долинах електрони беруть участь в еквівалентному міждолинному розсіюванні між долинами, що розміщені на одній вісі ( $g$ -розсіювання) і в еквівалентному міждолинному розсіюванні між долинами, розміщеними на перпендикулярних вісях ( $f$ -розсіювання).

Припустимо, що всі зазначені процеси розсіювання можуть бути описані відповідними часами релаксації і правило Матіссена справедливе в цьому випадку. Внутрішньодолинне розсіювання на акустичних фононах, як і міждолинне розсіювання на іонах домішок, можна описати діагональним тензором часів релаксації з двома компонентами, який наведений детально в [4–9]. Міждолинне розсіювання електронів спричинене взаємодією з акустичними і оптичними фононами з частотами, що відповідають температурам  $T_{c1} = 320$  К (нееквівалентне міждолинне розсіювання між  $L_1$ - і  $\Delta_1$ -долинами і еквівалентне міждолинне  $f$ -розсіювання),  $T_{c2} = 430$  К і  $T_{c3} = 100$  К (еквівалентне міждолинне  $g$ -розсіювання) описується скалярним часом релаксації [1, 4–9, 12], яке ми узагальнимо, беручи до уваги кінетику долин за

наявності великого гідростатичного тиску. Всі кінетичні інтеграли мають таку ж аналітичну форму, як і в [8].

Як відомо [4-6], тензор термоЕРС визначається співвідношенням

$$\alpha_{ik} = \rho_{il} b_{lk}. \quad (7)$$

Передусім розглянемо тензор питомого опору. Для його визначення спочатку розглянемо тензор питомої електропровідності. Для монокристалів германію у випадку гідростатичного тиску він може бути обчислений таким чином:

$$\sigma_{ik} = \sum_{r=1}^4 \sigma_{ik}^{(r)L} + \sum_{r=1}^6 \sigma_{ik}^{(r)\Delta}. \quad (8)$$

У цьому виразі  $\sigma_{ik}^{(r)L, \Delta}$  – компоненти тензора електропровідності для  $L_1$ - і  $\Delta_1$ -долин, записані в лабораторній системі координат. У головних вісях тензора мас  $i$ -долини тензор питомої електропровідності цієї долини має дві відмінні від нуля компоненти [5-8], які після усереднення по енергії виглядають таким чином:

$$\sigma_{11=22,33}^{(i)} = \sigma_{\perp, \parallel}^{(i)} = \frac{4}{3\sqrt{\pi}} \frac{N'_0 e^2}{T\sqrt{kT}} \frac{a_{\perp, \parallel}^{(i)}}{m_{\perp, \parallel}^{(i)}} J_{\perp, \parallel}^{(i)}(3). \quad (9)$$

(Всі позначення такі ж, як у [8]). Тензор питомої електропровідності кристала знаходиться зазвичай перетворенням компонент тензора електропровідності кожної долини до лабораторної системи координат, сумуючи, на додаток, по всім  $L_1$ - і  $\Delta_1$ -долинам, використовуючи (8). У результаті нескладних обчислень одержимо

$$\sigma_{\alpha\beta} = \frac{8}{9\sqrt{\pi}} \cdot \frac{N_0 e^2}{T\sqrt{kT}} \cdot \left\{ 2n_{L_1} \left( 2 \frac{a_{\perp}^{L_1}}{a_{\parallel}^{L_1}} J_{\perp}^{L_1} + \frac{a_{\parallel}^{L_1}}{m_{\parallel}^{L_1}} J_{\parallel}^{L_1} \right) + 3n_{\Delta_1} \left( 2 \frac{a_{\perp}^{\Delta_1}}{m_{\perp}^{\Delta_1}} J_{\perp}^{\Delta_1} + \frac{a_{\parallel}^{\Delta_1}}{m_{\parallel}^{\Delta_1}} J_{\parallel}^{\Delta_1} \right) \right\} \delta_{\alpha\beta}. \quad (10)$$

Останню формулу можна переписати в компактній формі із введенням ефективного параметра анізотропії розсіювання

$$K_{L_1, \Delta_1} = \frac{m_{\parallel}^{L_1, \Delta_1} a_{\perp}^{L_1, \Delta_1}}{m_{\perp}^{L_1, \Delta_1} a_{\parallel}^{L_1, \Delta_1}} \cdot \frac{J_{\perp}^{L_1, \Delta_1}(3)}{J_{\parallel}^{L_1, \Delta_1}(3)} = K_a^{L_1, \Delta_1} \cdot \frac{J_{\perp}^{L_1, \Delta_1}(3)}{J_{\parallel}^{L_1, \Delta_1}(3)}, \quad (11)$$

беручи до уваги (9). У цьому випадку

$$\sigma_{\alpha\beta} = \left\{ 4n_{L_1} \sigma_{\perp}^{L_1} \frac{2K_{L_1} + 1}{3K_{L_1}} + 6n_{\Delta_1} \sigma_{\perp}^{\Delta_1} \frac{2K_{\Delta_1} + 1}{3K_{\Delta_1}} \right\} \delta_{\alpha\beta}. \quad (12)$$

Із експериментів з чистими кристалами відомо, що за низьких температур  $T = 78$  К  $K_{L_1} = 16.4$  і  $K_{\Delta_1} = 4.4$  [5,13,14].

Як відомо, гідростатичний тиск не змінює симетрію кристала і в кубічних кристалах тензор електропровідності вироджується в скаляр. Цей факт відображено останньою формулою. Очевидно, що компоненти тензора електроопору можна обчислити за формулою

$$\rho_{ii} = 1/\sigma_{ii}. \quad (13)$$

Зазначимо, що залежність від тиску в (10), (12) входить через числа заповнення і інтеграли, де час релаксації міждолинного нееквівалентного розсіювання залежить від тиску.

Для окремо взятої « $i$ »-долини за наявності деформації симетрія тензора  $b_{ik}^{(i)}$  збігається з симетрією тензора  $\sigma_{ik}^{(i)}$ , тому що [6]

$$b_{ik}^{e(i)} = - \left\langle \sigma_{ik}^{(i)}(\bar{x}, P) \cdot \alpha^{e(i)}(\bar{x}, P) \right\rangle. \quad (14)$$

Тут  $\sigma_{ik}^{(i)}(\bar{x}, P)$  – електропровідність « $i$ »-долини, спричинена групою електронів зі зведеною енергією  $\bar{x}$ , скаляр  $\alpha^{e(i)}(\bar{x}, P)$  – електронна термоЕРС « $i$ »-долини, спричинена

дифузією групи електронів зі зведеною енергією  $\bar{x}$  за наявності деформації [6]:  
 $\alpha^{e,(i)}(\bar{x}, P) = (k/e)(\bar{x} - \bar{\mu}^*)$ .

Компоненти тензора  $b_{ik}^{(i)}$  « $i$ »-долини після усереднення по енергії набувають такого вигляду:

$$b_{11=22,33}^{e,(i)} = b_{\perp,\parallel}^{e,(i)} = -\frac{k}{e} \frac{4}{3\sqrt{\pi}} \frac{N_0 e^2}{T\sqrt{kT}} n_i \frac{a_{\perp,\parallel}^{(i)}}{m_{\perp,\parallel}^{(i)}} \left[ J_{\perp,\parallel}^{(i)}(4) - \bar{\mu}^* J_{\perp,\parallel}^{(i)}(3) \right]. \quad (15)$$

Використовуючи ефективний параметр анізотропії (14) і вводячи позначення  $\xi_{\perp,\parallel}^{(i)} = J_{\perp,\parallel}^{(i)}(4) / J_{\perp,\parallel}^{(i)}(3)$ , вираз (15) набуває форми

$$b_{\perp}^{e,(i)} = -\frac{k}{e} n_i \sigma_{\perp}^{(i)} (\xi_{\perp}^{(i)} - \bar{\mu}^*), \quad b_{\parallel}^{e,(i)} = -\frac{k}{e} n_i \sigma_{\perp}^{(i)} \frac{1}{K_i} (\xi_{\parallel}^{(i)} - \bar{\mu}^*). \quad (16)$$

Після перетворення компонент тензора  $b_{\perp,\parallel}^{e,(i)}$  кожної долини до лабораторної системи координат і сумування за всіма групами еквівалентних долин для тензора  $b_{ik}^e$  матимемо

$$b_{11}^e = b_{22}^e = b_{33}^e = \frac{4}{3} (2b_{\perp}^{L_1} + b_{\parallel}^{L_1}) + 2(2b_{\perp}^{\Delta_1} + b_{\parallel}^{\Delta_1}). \quad (17)$$

Беручи до уваги (11), (16) і вводячи позначення

$$r_{L_1, \Delta_1} = \frac{J_{\parallel}^{L_1, \Delta_1}(4) J_{\perp}^{L_1, \Delta_1}(3)}{J_{\perp}^{L_1, \Delta_1}(4) J_{\parallel}^{L_1, \Delta_1}(3)},$$

матимемо вираз (17) такої форми:

$$b_{ii}^{(e)} = -\frac{k}{e} \left[ 4n_{L_1} \sigma_{\perp}^{L_1} \left( \xi_{\perp}^{L_1} \frac{2K_{L_1} + r_{L_1}}{3K_{L_1}} - \bar{\mu}^* \frac{2K_{L_1} + 1}{3K_{L_1}} \right) + 6n_{\Delta_1} \sigma_{\perp}^{\Delta_1} \left( \xi_{\perp}^{\Delta_1} \frac{2K_{\Delta_1} + r_{\Delta_1}}{3K_{\Delta_1}} - \bar{\mu}^* \frac{2K_{\Delta_1} + 1}{3K_{\Delta_1}} \right) \right] \delta_{ii}. \quad (18)$$

Очевидно, що термоЕРС буде скалярною величиною також.

Дифузійну термоЕРС в явному вигляді можемо одержати без труднощів, використовуючи (7), (12) і (13). Насамкінець одержуємо

$$\alpha_{ii}^{(e)} = \frac{k}{e} \frac{4n_{L_1} \sigma_{\perp}^{L_1} \left( \xi_{\perp}^{L_1} \frac{2K_{L_1} + r_{L_1}}{3K_{L_1}} - \bar{\mu}^* \frac{2K_{L_1} + 1}{3K_{L_1}} \right) + 6n_{\Delta_1} \sigma_{\perp}^{\Delta_1} \left( \xi_{\perp}^{\Delta_1} \frac{2K_{\Delta_1} + r_{\Delta_1}}{3K_{\Delta_1}} - \bar{\mu}^* \frac{2K_{\Delta_1} + 1}{3K_{\Delta_1}} \right)}{4n_{L_1} \sigma_{\perp}^{L_1} \frac{2K_{L_1} + 1}{3K_{L_1}} + 6n_{\Delta_1} \sigma_{\perp}^{\Delta_1} \frac{2K_{\Delta_1} + 1}{3K_{\Delta_1}}} \delta_{ii}. \quad (19)$$

У випадку недеформованого кристала  $n_{\Delta_1} \approx 0$  і з останнього виразу випливає

$$\alpha_{ii}^{(e)} = \frac{k}{e} \left( \xi_{\perp}^{L_1} \frac{2K_{L_1} + r_{L_1}}{2K_{L_1} + 1} - \bar{\mu}^* \right) \delta_{ii}. \quad (20)$$

За наявності тільки акустичного розсіювання формула (20) дає  $\alpha_{ii}^{(e)} = \frac{k}{e} (2 - \bar{\mu}^*) \delta_{ii}$ .

У випадку сильної деформації після інверсії долин практично всі електрони будуть локалізовані в  $\Delta_1$ -долинах ( $n_{L_1} \approx 0, n_{\Delta_1} = 1/6$ ) і формула (20) буде справедлива із заміною індексів  $L_1 \rightarrow \Delta_1$ .

### ТермоЕРС захоплення

Відомо [4, 6, 8], що компоненти кінетичного тензора  $b_{ik}^{f,(i)}$  « $i$ »-долини, спричинені захопленням фононами електронів, можна визначити як

$$b_{ik}^{f,(i)} = -\langle \sigma_{il}^{(i)}(x) \alpha_{ik}^{f,(i)}(x) \rangle. \quad (21)$$

Тут  $\alpha_{ik}^{f,(i)}(x)$  – тензор термоЕРС захоплення, спричиненої захопленням групи електронів зі зведеною енергією  $x$  довгохвильовими фононами всіх поляризацій. Як показано в [6], для двохвісної ізоенергетичної поверхні тензор  $\alpha_{ik}^{f,(i)}(x)$  повинен мати симетрію мінімуму, тобто тензор  $\alpha_{ik}^{f,(i)}(x)$  має дві незалежні компоненти:

$$\alpha_{\perp}^f(x) = (k/e) f_{\perp}^f(x), \quad \alpha_{\parallel}^f(x) = (k/e) (m_{\parallel} / m_{\perp}) f_{\parallel}^f(x) \quad (22)$$

і

$$f_{\perp}^f(x) = \sum_j A_{n_j} \beta_{n_j} x^{n_j-1/2} I_{\perp, n_j}, \quad f_{\parallel}^f(x) = \sum_j A_{n_j} \beta_{n_j} x^{n_j-1/2} I_{\parallel, n_j}. \quad (23)$$

У вищенаведених виразах сумування проводиться за поляризаціями фононів,  $A_{n_j}$  – константи, що визначаються шляхом порівняння експериментальних даних і теоретичних обчислень, метод одержання їх описаний в [15,16], константи  $\beta_{n_j}$  і інтеграли  $I_{\perp, n_j}$  залежать від характеристик енергетичних долин і кристала в цілому і наведені в явній формі в [6], параметр  $n_j$  був знайдений в [14,15] і для германію  $n_j = 0.25, n_j = 0.5$ .

Вводячи позначення

$$\alpha_{\perp, L_1, \Delta_1}^{(j)}(T) = (k/e) A_{n_j} \beta_{n_j, L_1, \Delta_1} I_{\perp, n_j}^{L_1, \Delta_1}, \quad (24)$$

$$\alpha_{\parallel, L_1, \Delta_1}^{(j)}(T) = (k/e) (m_{\parallel}^{L_1, \Delta_1} / m_{\perp}^{L_1, \Delta_1}) A_{n_j} \beta_{n_j, L_1, \Delta_1} I_{\parallel, n_j}^{L_1, \Delta_1} \quad (25)$$

і проводячи усереднення за енергіями електронів, для компонент кінетичного тензора однієї долини в системі координат, зв'язаній з головними вісями тензора мас, маємо

$$b_{11,33}^{f,(i)} = b_{\perp, \parallel}^{f,(i)} = \frac{4}{3\sqrt{\pi}} \frac{N_0' e^2}{T \sqrt{kT}} n_i \frac{\alpha_{\perp, \parallel}^{(i)}}{m_{\perp, \parallel}^{(i)}} \alpha_{\perp, \parallel}^{(j,i)}(T) J_{\perp, \parallel}^{(i)}(5/2 + n_j). \quad (26)$$

Для  $L_1$  - і  $\Delta_1$  -долин у відповідних множниках будуть введені індекси, що вказують тип долини.

Після перетворення компонент  $b_{\perp, \parallel}^{f,(i)}$  кінетичного тензора кожної долини до лабораторної системи координат і сумування по всім групам еквівалентних долин не важко одержати вираз для компонент кінетичного тензора кристала. Для спрощення одержаного виразу зручно використати таке позначення:

$$\alpha_{\perp, \parallel}^f = \sum_j \alpha_{\perp, \parallel}^{(j)}(T) \frac{J_{\perp, \parallel}(5/2 + n_j)}{J_{\perp, \parallel}(3)}, \quad \bar{M} = \frac{\alpha_{\parallel}^f}{\alpha_{\perp}^f}, \quad (27)$$

де  $\alpha_{\perp, \parallel}^f$  – поперечна чи поздовжня компоненти тензора термоЕРС захоплення, що обумовлені захопленням електронів, які належать одній долині,  $\bar{M}$  – усереднений параметр анізотропії термоЕРС захоплення.

Підкреслимо, що в наведених вище виразах усі величини пов'язані з певною групою долин ( $L_1$  чи  $\Delta_1$ ) і в подальшому відповідні індекси будуть вказані.

Використовуючи (12) для компонент кінетичного тензора кристала в лабораторній системі координат, можна одержати такий вираз:

$$b_{11}^f = b_{33}^f = 4n_{L_1} \sigma_{\perp}^{L_1} \alpha_{\perp, L_1}^f \frac{2K_{L_1} + \bar{M}_{L_1}}{3K_{L_1}} + 6n_{\Delta_1} \sigma_{\perp}^{\Delta_1} \alpha_{\perp, \Delta_1}^f \frac{2K_{\Delta_1} + \bar{M}_{\Delta_1}}{3K_{\Delta_1}}. \quad (28)$$

Неважко одержати аналітичний вираз для тензора термоЕРС захоплення, враховуючи всі  $L_1$ - і  $\Delta_1$ -долини, оскільки  $\alpha_{ii}^f = b_{ii}^f / \sigma_{ii}$ ,

$$\alpha_{ii}^f = \frac{4n_{L_1} \sigma_{\perp}^{L_1} \alpha_{\perp, L_1}^f \frac{2K_{L_1} + \bar{M}_{L_1}}{3K_{L_1}} + 6n_{\Delta_1} \sigma_{\perp}^{\Delta_1} \alpha_{\perp, \Delta_1}^f \frac{2K_{\Delta_1} + \bar{M}_{\Delta_1}}{3K_{\Delta_1}}}{4n_{L_1} \sigma_{\perp}^{L_1} \frac{2K_{L_1} + 1}{3K_{L_1}} + 6n_{\Delta_1} \sigma_{\perp}^{\Delta_1} \frac{2K_{\Delta_1} + 1}{3K_{\Delta_1}}} \delta_{ii}, \quad (29)$$

тобто  $\alpha^f$ , так як і  $\alpha^e$ , вироджується в скаляр завдяки кубічній симетрії кристала.

Співвідношення (29) дає можливість легко розглянути ряд часткових випадків.

Для недеформованого кристала вкладом  $\Delta_1$ -долин можна знехтувати (це очевидно) і можна одержати добре відому формулу для термоЕРС захоплення недеформованого кристала  $n$ -Ge:

$$\alpha_{11}^f = \alpha_{33}^f = \alpha_{\perp, L_1}^f \frac{2K_{L_1} + \bar{M}_{L_1}}{2K_{L_1} + 1}. \quad (30)$$

У випадку сильної деформації, після інверсії долин, практично всі електрони локалізовані в  $\Delta_1$ -долинах ( $n_{L_1} \approx 0, n_{\Delta_1} = 1/6$ ) і формула (30) справедлива в разі заміни індексів  $L_1 \rightarrow \Delta_1$ .

## Чисельні результати

Для обчислень необхідно знати ряд параметрів кристала поряд з параметрами  $L_1$ - і  $\Delta_1$ -долин. Всі параметри, що використовуються для опису внутрішньодолинного розсіювання в  $L_1$ -долинах, добре відомі [4–6]. Параметри, необхідні для опису міждолинного розсіювання, наведені в [1–3, 8, 9]. Різні значення ефективних мас і постійних деформаційного потенціалу для  $\Delta_1$ -долин були оцінені в [1–3, 9, 13, 14]. На жаль, відсутні експериментальні дані з термоЕРС у випадку сильних пружних деформацій. З цієї причини були використані значення ефективних мас і постійних деформаційного потенціалу з [9], тому що ці значення дають якісний збіг з експериментальними результатами для п'єзоопору за сильного гідростатичного тиску. Таким чином, ми використали такі значення ефективних мас в  $\Delta_1$ -долинах:  $m_{\perp}^{\Delta_1} / m_0 = 0.225$ ,  $m_{\parallel}^{\Delta_1} / m_0 = 0.612$  і констант потенціалу деформації:  $C_1^{\Delta_1} = 0.1$  еВ,  $C_2^{\Delta_1} = 12.0$  еВ. Ми також використали значення  $C_1^{\Delta_1} = 0.18$  еВ і  $C_2^{\Delta_1} = 8.636$  еВ, тому що вони описують кількісно інверсію  $L_1$ - і  $\Delta_1$ -долин. На малюнках, наведених нижче, суцільні лінії відповідають першій парі констант і штрихові – другій парі констант. Було використано значення пружних констант із [17]. Наведемо результати розрахунків дифузійної термоЕРС і термоЕРС захоплення, використовуючи ці й інші параметри і константи із [5,6,18]. На рисунках, наведених нижче, показано результати обчислень для деформаційних потенціалів, чисел заповнення, дифузійної термоЕРС і термоЕРС захоплення для двох температур –  $T = 78$  К і  $T = 300$  К. Концентрація електронів  $N_0' = 4.7 \cdot 10^{13} \text{ см}^{-3}$ .

Деформаційні потенціали залежать від температури лише через залежність компонент тензора пружних піддатливостей від температури. Ці залежності слабкі, і на рис. 1 наведені лише для  $T = 300$  К. Тиск  $P_0'$  відповідає експериментально спостережуваній інверсії долин [3].

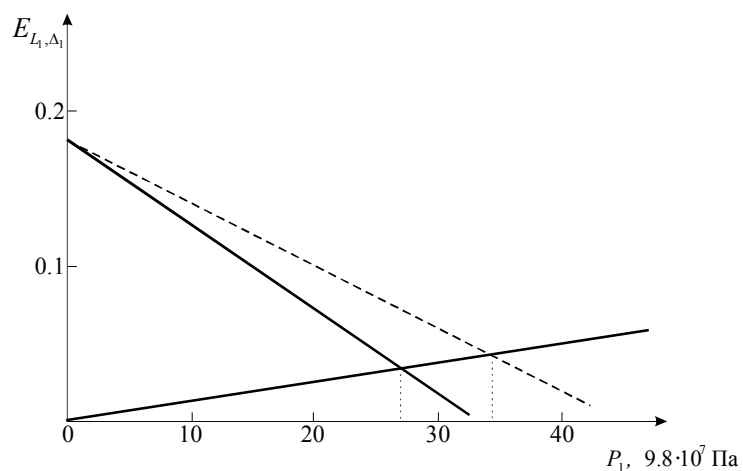


Рис. 1. Деформаційні потенціали залежно від  $P$ .  $T=300$  К.

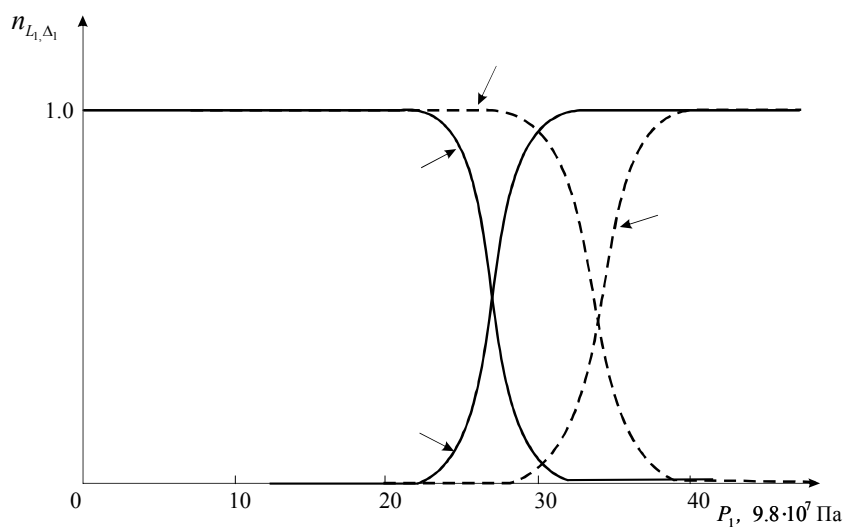


Рис. 2. Числа заповнень для  $L_1$  - і  $\Delta_1$ -долин залежно від  $P$ .  $T=78$  К.

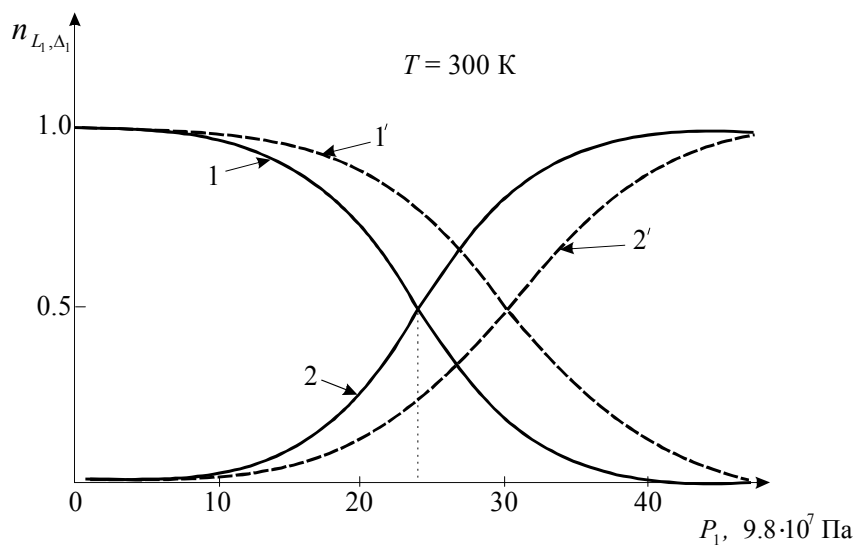


Рис. 3. Числа заповнень для  $L_1$  - і  $\Delta_1$ -долин залежно від  $P$ .  $T=300$  К.



Результати чисельного розрахунку дифузійної термоЕРС в залежності від прикладеного гідростатичного тиску показано на рис. 4, 5. Значення дифузійної термоЕРС в недеформованому кристалі за вказаних температур відповідно  $\alpha^e(0;78\text{K})=1074\text{ мВ/К}$  і  $\alpha^e(0;300\text{K})=1234\text{ мВ/К}$ . Пояснення наявності максимуму в [8] для одновісного стиску (рис. 3,4) і в цьому випадку також справедливе.

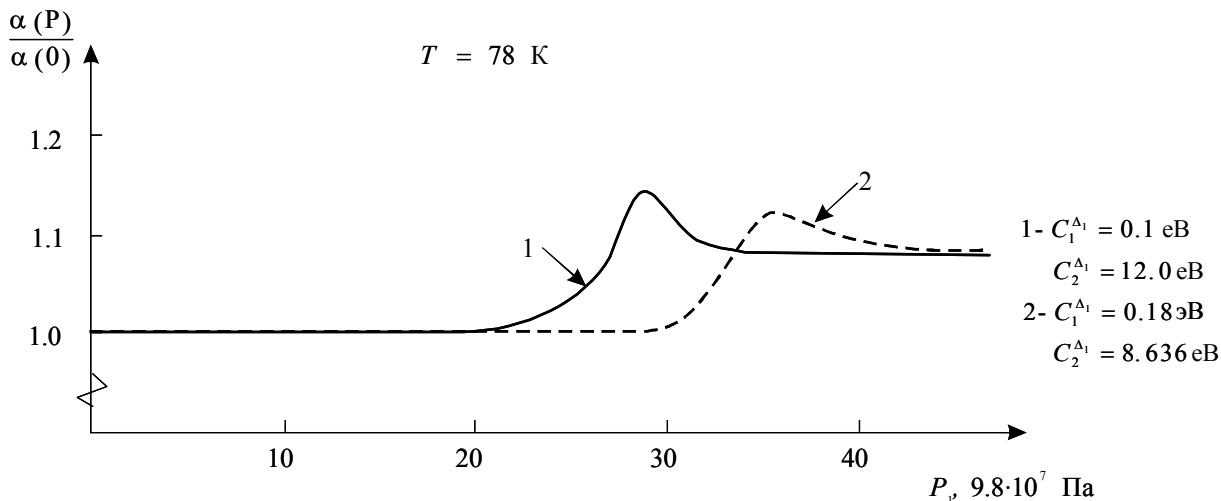


Рис. 4.

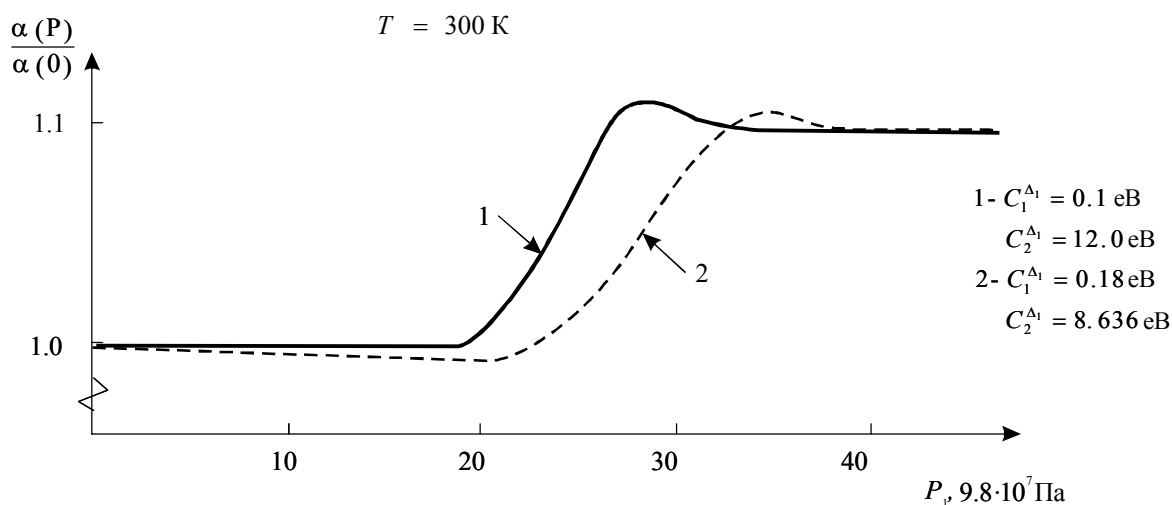


Рис. 5.

Зміна дифузійної термоЕРС з тиском  $P$ .  $T=78 \text{ K}$  (рис. 4),  $T=300 \text{ K}$  (рис. 5).

Всі параметри, необхідні для розрахунку термоЕРС захоплення, вибрані, як і в [8]. На рисунках 6, 7 наведено результати чисельного розрахунку термоЕРС захоплення в  $L_1 - \Delta_1$ -моделі германію за сильного гідростатичного тиску. Поведінка залежностей подібна до поведінки п'єзоопору в цій моделі [1–3]. Очевидно, що в області високих температур  $T = 300 \text{ K}$  перехід електронів між  $L_1$ - і  $\Delta_1$ -долинами починається за менших значень  $P$  і, таким чином, інтервал переходу між  $L_1$ - і  $\Delta_1$ -долинами стає розмитішим.

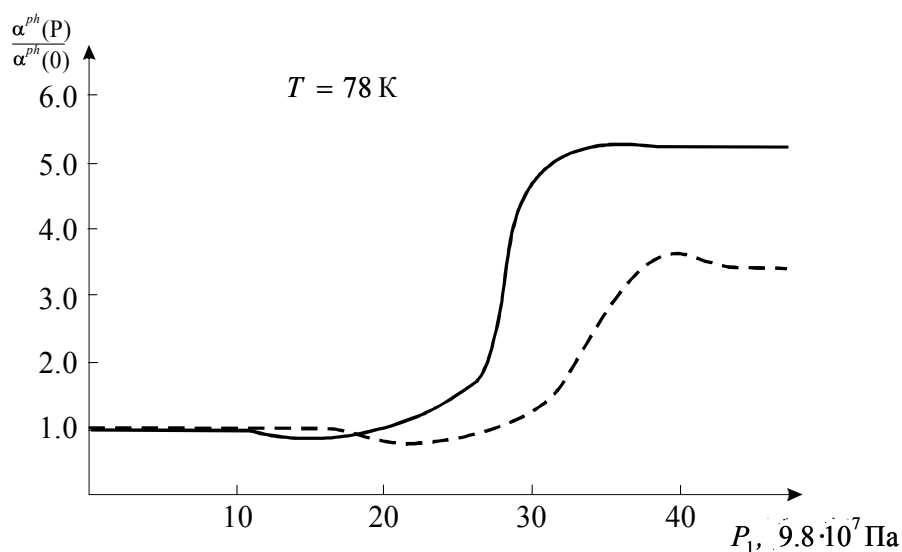


Рис. 6.

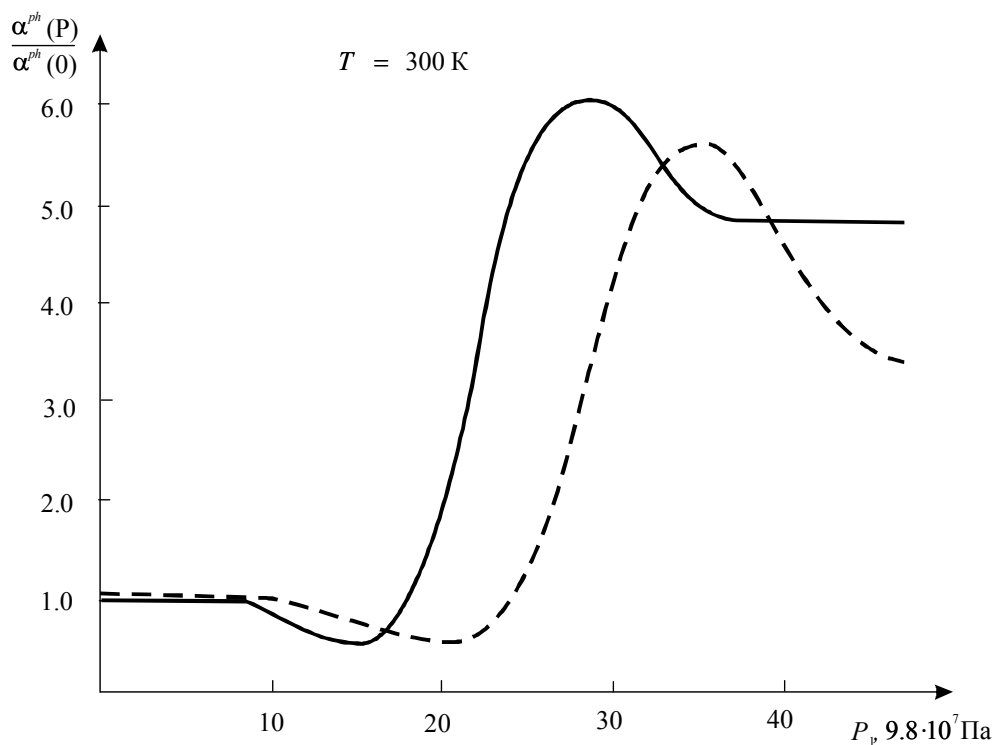


Рис. 7.

Зміна фононної термоЕРС із тиском  $P$ .  $T=78\text{ K}$  (рис. 6),  $T=300\text{ K}$  (рис. 7),  
 $\alpha^{ph}(0; 78\text{ K}) \approx 1000\text{ мВ/К}$ ,  $\alpha^{ph}(0; 300\text{ K}) \approx 6.0\text{ мВ/К}$ . Суцільна лінія відповідає  $C_1^{\Delta_1} = 0.1\text{ eV}$ ,  
 $C_2^{\Delta_1} = 12.0\text{ eV}$ , штрихова лінія відповідає  $C_1^{\Delta_1} = 0.18\text{ eV}$ ,  $C_2^{\Delta_1} = 8.636\text{ eV}$ .

На закінчення автори висловлюють щире подяку проф. Баранському П.І. (Інститут фізики напівпровідників Національної Академії Наук України) і проф. Бурдейному В.П. (Департамент фізики Університету Едуардо Мондлане) за корисні поради і обговорення.

Автори вдячні за фінансову підтримку шведському агентству SIDA / SAREC і дослідницькій групі з відновлюваних джерел енергії Університету Едуардо Мондлане в Мапуту, Мозамбік.

## Література

1. Fawcett W., Paige E.G.S. Negative differential mobility of electrons in germanium // J. Phys. C: Solid St. Phys. – 1971. – Vol.4. – P. 1801.
2. Fletcher K. and Pitt G.D. Intervalley scattering in n type Ge from a Hall effect experiment to high pressures // J. Phys. C: Solid State Phys. – 1971. – V.4. – P.1822.
3. Ahmad C.N., Adams A.R. and Pitt G.D. Temperature dependence of the electron mobility in the  $\Delta_{1c}$  minima of Germanium // J. Phys. C: Sol. State Phys. – 1979. – V.12, N 10. – P L379.
4. Самойлович А.Г., Буда И.С., Даховский И.В. Теория анизотропного рассеяния // ФТП. – 1973. – Т.7. – №4. – С.859.
5. Баранский П. И., Буда И. С., Даховский И. В., Коломеец В. В. Электрические и гальваномагнитные явления в анизотропных полупроводниках. – К.: Наук. думка, 1977, 270 с.
6. Баранский П. И., Буда И. С., Даховский И. В. Теория термоэлектрических и термомагнитных явлений в анизотропных полупроводниках. – К.: Наук. думка, 1987. – 272 с.
7. Черныш В. В., Самойлович А. Г. Исследование явлений переноса в упруго деформированном германии // Термоэлектричество. – 2006. – №3. – С.14.
8. Черныш В. В., Куамба Б. Ш. ТермоЭДС в  $L_1$  –  $\Delta_1$ -модели германия // Термоэлектричество. – 2007. – № 3. – С.29.
9. Chernysh V., Burdeynyy V., Tomo F. Peculiarity of Piezoresistance in  $L_1$ - $\Delta_1$  Model of Germanium // Proceedings of SPIE (USA). – 2001. – V.4425. – P. 362.
10. Herring C. Transport properties of many-valley semiconductors // Bell System Techn. J. – 1956. – V.34. – №1. – P.237.
11. Nye J.P. Physical properties of crystals. – Oxford at the Clarendon press, 1964. – 322 p.
12. Москалюк В.О. Фізика електронних процесів. – К.: Політехніка, 2004. – 180 с.
13. Баранский П. И., Коломеец В. В., Федосов А. В. Пьезосопротивление, возникающее в условиях симметричной ориентации оси деформации по отношению ко всем изоэнергетическим эллипсоидам // ФТП. – 1979. – Т.13, №10. – С. 815.
14. Баранский П. И., Коломеец В.В., Сусь Б.А., Шаповалов В.П. Некоторые характеристики энергетических минимумов  $\langle 100 \rangle$  типа в  $n$ -Ge // ФТП. – 1979. – Т.13, №3. – С. 602.
15. Черныш В. В. Анизотропия пьезотермомагнитных явлений в области эффекта увлечения. Автореф. Дис. ...канд.физ.-мат. наук., Черновцы, 1977. – 20 с.
16. Баранский П. И., Буда И. С., Коломеец В. В., Самойлович А. Г., Сусь Б. А., Черныш В. В. Фонон-фононная релаксация при эффектах увлечения в  $n$ -Ge // ФТП. – 1975. – Т.9, № 9. – С.1680.
17. McSkimin H.J. and Andreatch P. Elastic Moduli of Germanium Versus Hydrostatic Pressure at 25 °C and –195.8 °C // J.Applied Phys. – 1963. – V. 34. – № 3. – P. 651.
18. Баранский П. И., Клочков В. П., Потыкевич И. В. Полупроводниковая электроника. – К.: Наук. думка, 1975. – 704 с.

Надійшла до редакції 10.02.09.